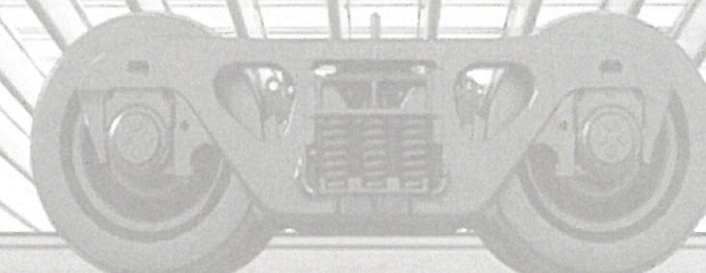




ЦЕНТР  
ТРАНСПОРТНЫХ  
ТЕХНОЛОГИЙ



Третий научно-технический семинар  
**Компьютерное моделирование в железнодорожном транспорте:  
динамика, прочность, износ**

Гусев Артем Владимирович  
ООО «ВНИЦТТ», Санкт-Петербург

**Оценка воздействия на путь грузового вагона методом  
математического моделирования его движения**

# Оценка воздействия на путь грузового вагона методом математического моделирования его движения

ЦТП

## Цель исследовательской работы

Ограничения допускаемых скоростей движения вагона на различных конструкциях пути определяют:

- напряжения на основной площадке земляного полотна;
- напряжения в балласте под шпалой;
- динамическая погонная нагрузка.

Для определения данных показателей используется коэффициент вертикальной динамики  $k_{\text{дв}}$ :

По «Нормам расчета и проектирования...»

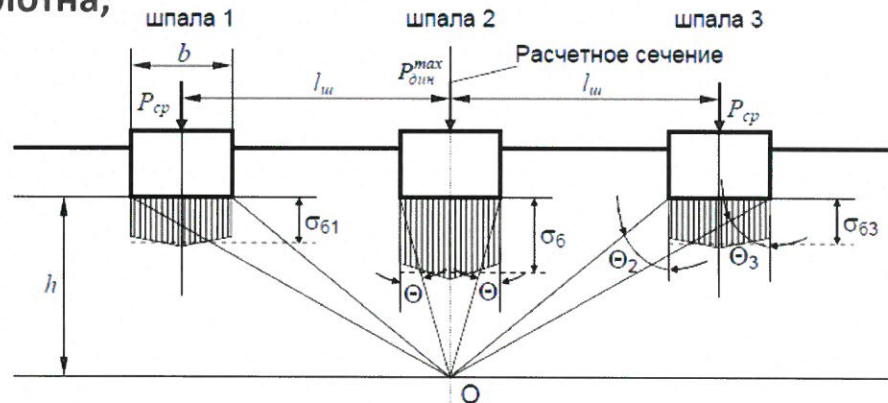
$$k_{\text{дв}} = \frac{\bar{k}_{\text{дв}}}{\beta} \sqrt{\frac{4}{\pi} \ln \frac{1}{1-P(k_{\text{дв}})}}; \bar{k}_{\text{дв}} = a + 3,6 \cdot 10^{-4} b \frac{(V-15)}{f_p},$$

где  $\bar{k}_{\text{дв}}$  – среднее вероятное значение коэффициента вертикальной динамики.

ГОСТ Р 55050-2012

Железнодорожный подвижной состав.  
Нормы допустимого воздействия на ж/д  
путь и методы испытаний

Ссылка на



Расчетная схема определения напряжений на основной площадке земляного полотна

По ЦПТ-52/14 «Методика оценки  
воздействия подвижного состава на путь по  
условиям обеспечения его надежности»

$$k_{\text{дв}} = 0,1 + 0,2 \frac{V}{f_{\text{ст}}},$$

где  $f_{\text{ст}}$  – статический прогиб рессорного подвешивания, мм.

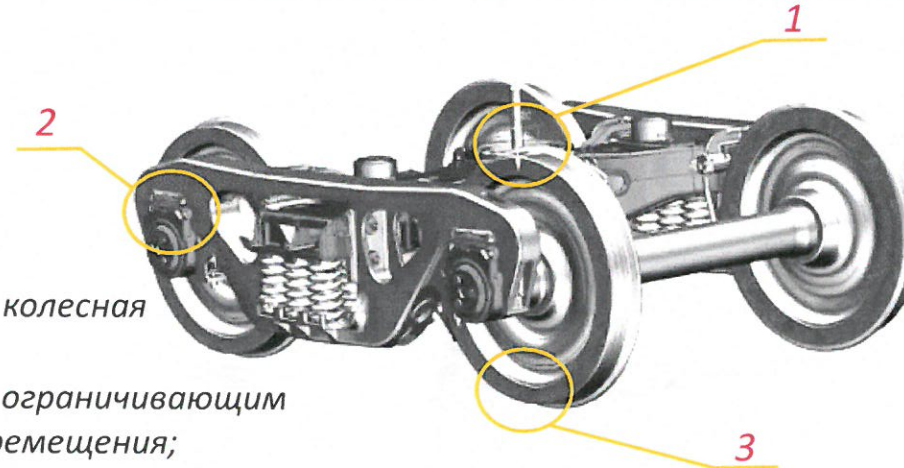
## Цель

Рассмотреть действующую методику определения воздействия на путь и предложить направление по ее совершенствованию

# Оценка воздействия на путь грузового вагона методом математического моделирования его движения

ЦТТ

Тележка модели 18-9855 с осевой нагрузкой 25 тс

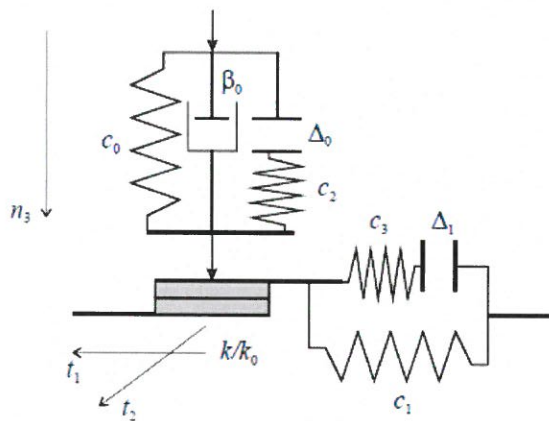


2. Связь боковая рама – колесная пара моделируется:

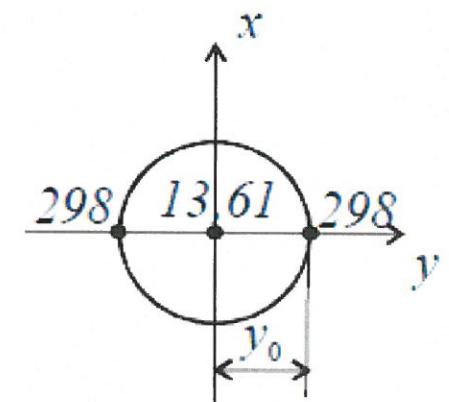
- элементом-упором, ограничивающим горизонтальные перемещения;
- элементом, обеспечивающим сухое трение в горизонтальной плоскости.

3. Качение колеса по рельсу реализуется нелинейным элементом, требующим задания координат оси колеса, профиля колеса и рельса и др. параметров

Механическая схема элемента №298



1. Моделирование работы узла пятник-подпятник элементами



- №13 – сферический шарнир;
- №61 – упругий элемент, реализующий эквивалентную жесткость при галопировании тележки;
- №298 – нелинейный элемент, реализующий работу сил сухого трения в горизонтальной плоскости и сопротивление при перевалке кузова.

# Оценка воздействия на путь грузового вагона методом математического моделирования его движения

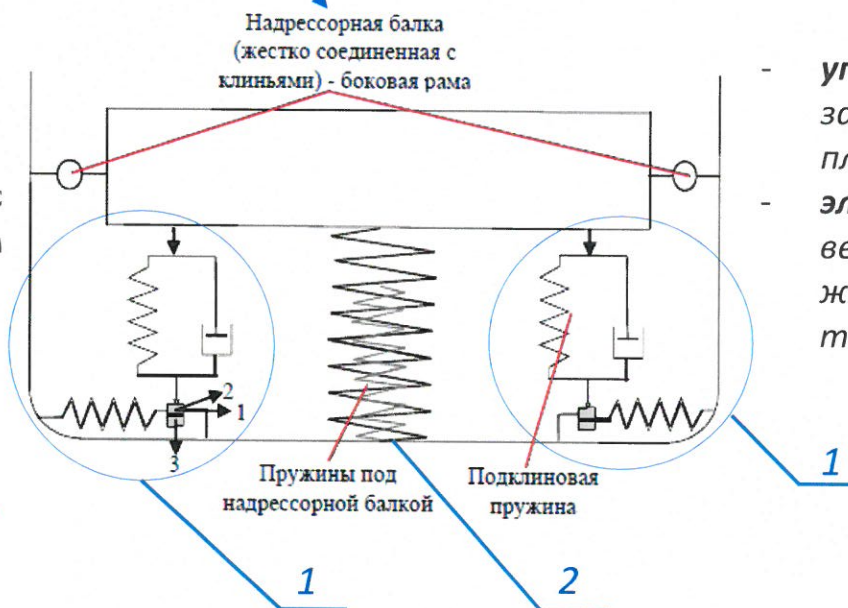
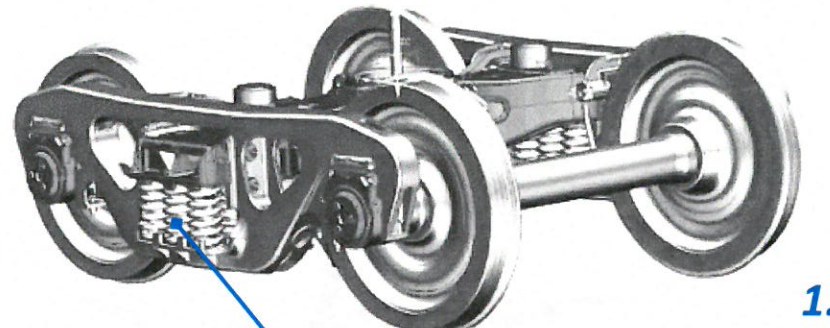
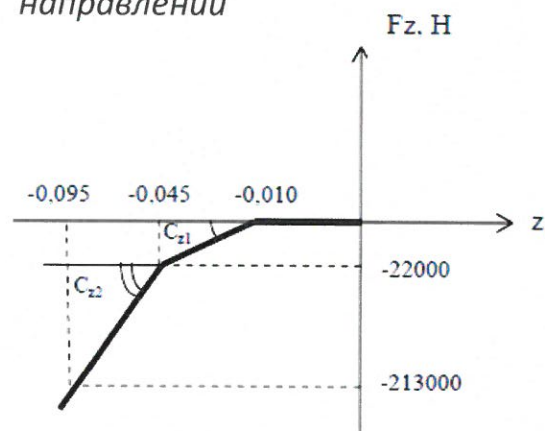
Ч.Т.Т.

Оценка воздействия на путь проводилась с использованием программного комплекса «*Medyna*».

Тележка модели 18-9855 с осевой нагрузкой 25 тс

**2.** Пружины под *надрессорной* балкой моделируются:

- **упругим элементом** с линейной жесткостью в продольном и поперечном направлениях и угловой для трех направлений;
- элементом с нелинейной зависимостью усилия в пружинах от перемещения в вертикальном направлении

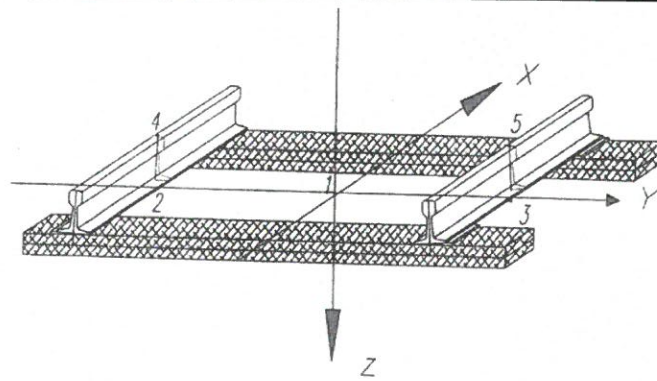


**1.** Подклиновая пружина моделируется:

- **упругим элементом** с заданием жесткости в плане;
- **элементом**, задающим вертикальную жесткость и силы сухого трения

*Характеристики рельсо-шпальной решетки*

| Параметр  | Единица измерения | Значение |
|---|-------------------|----------|
| <b>Для крепления рельса к шпале (на одну сторону)</b> |                   |          |
| Вертикальная жесткость                                | МН/м              | 50       |
| Горизонтальная (поперечная) жесткость                 | МН/м              | 20       |
| Вертикальный коэффициент вязкого трения               | МН·с/м            | 0,80     |
| Горизонтальный коэффициент вязкого трения             | МН·с/м            | 3,2      |
| <b>Для земляного полотна (на одну сторону)</b>        |                   |          |
| Вертикальная жесткость                                | МН/м              | 97       |
| Горизонтальная (поперечная) жесткость                 | МН/м              | 20       |
| Вертикальный коэффициент вязкого трения               | МН·с/м            | 0,40     |
| Горизонтальный коэффициент вязкого трения             | МН·с/м            | 0,35     |



*Элемент ж/д пути*

*Рельсошпальная решетка и земляное полотно моделируется*

- пространственным упругодемпфирующим элементом, реализующим жесткости и демпфирование для трех направлений перемещения и поворота.

# Оценка воздействия на путь грузового вагона методом математического моделирования его движения

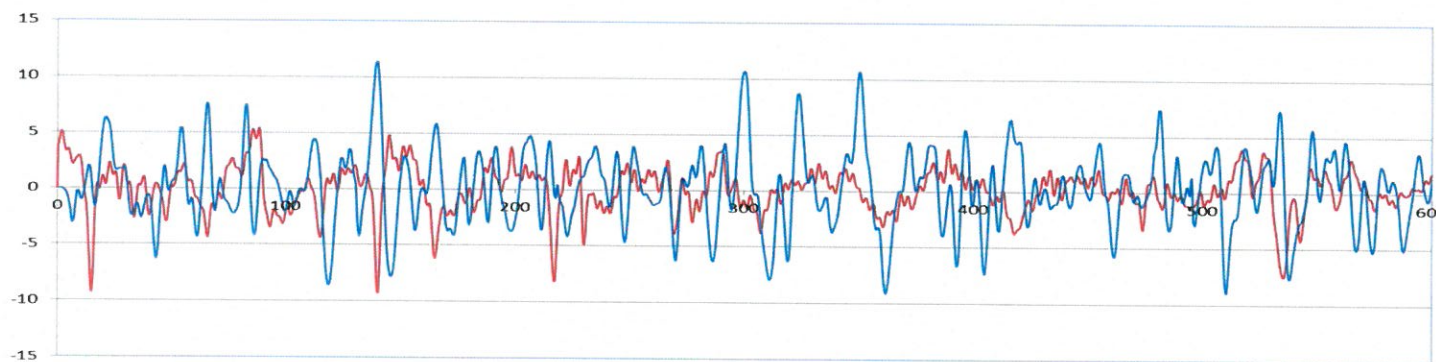
ЦТТ.

Временные реализации горизонтальных и вертикальных неровностей приняты по

**РД 32.68-96** «Расчетные неровности железнодорожного пути для использования при исследованиях и проектировании пассажирских и грузовых вагонов».

в соответствии с

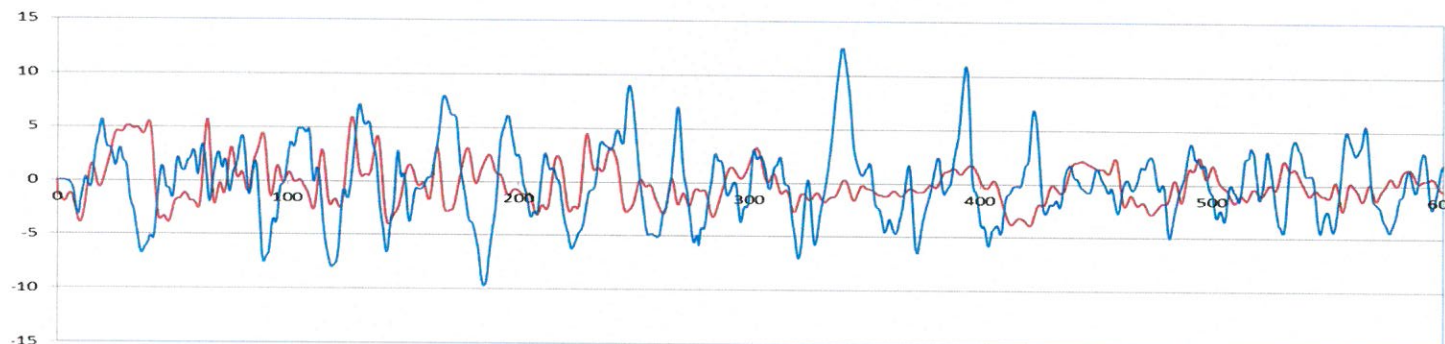
**ЦП-774** «Инструкция по текущему содержанию железнодорожного пути».



Числовые реализации неровностей

— СИП

— по РД 32.68-96



# Оценка воздействия на путь грузового вагона методом математического моделирования его движения

ЦТТ.

Оценочные критерии воздействия вагона на путь в соответствии с ГОСТ Р 55050-2012:

- динамические напряжения растяжения в кромках подошвы рельса;
- напряжения в кромках подошвы остряков стрелочных переводов;
- напряжения на основной площадке земляного полотна  $\sigma_h$ ;
- напряжения в балласте под шпалой  $\sigma_{бр}$ ;
- напряжения на смятие в деревянных шпалах под подкладками;
- критерий устойчивости рельсошпальной решетки от поперечного сдвига по балласту;
- динамическая погонная нагрузка на ж/д путь от тележки  $q$ .

Метод математического моделирования

Определение численных значений вертикальных динамических сил, действующих на рессорный комплект

ГОСТ Р 55050-2012

Максимально вероятные значения  $k_{дв}$

В соответствии с ЦПТ-52/14

Определение  $\sigma_h$  и  $\sigma_{бр}$ , динамической максимальной нагрузки колеса на рельс  $P_p^{max}$

$$P_p^{max} = k_{дв}(P_{ст} - q),$$

где  $k_{дв}$  - коэффициент вертикальной динамики;

$P_{ст}$  - статическая нагрузка от колеса на рельс, кгс;

$q$  - отнесенный к колесу вес необressоренных частей.

# Оценка воздействия на путь грузового вагона методом математического моделирования его движения

ЦТТ.

## Совершенствование существующей методики ЦПТ-52/14

Максимальная эквивалентная нагрузка для расчетов напряжений и сил в элементах подрельсового основания

$$P_{\text{экв}}^H = P_{\text{дин}}^{\max} + \sum \eta_i \cdot P_{\text{ср}},$$

где  $P_{\text{дин}}^{\max}$  - динамическая максимальная нагрузка от колеса на рельс, кгс (по результатам моделирования);

$\eta_i$  - ординаты линии влияния прогибов рельса в сечениях пути, расположенных под колесными нагрузками от осей экипажа, смежных с расчетной осью, см;

$P_{\text{ср}}$  - средняя нагрузка от колеса на рельс, кгс (по результатам моделирования);

## Напряжения в балласте под шпалой по ЦПТ-52/14 и с учетом ее усовершенствования

| Конструкция<br>пути               | Напряжения в балласте под шпалой ( $\text{кг}/\text{см}^2$ ) при<br>движении груженого вагона по участкам пути со<br>скоростями, км/ч |      |                          |      |      |                             |      |      | Допускаемое<br>значение,<br>( $\text{кг}/\text{см}^2$ ) |  |
|-----------------------------------|---|------|--------------------------|------|------|-----------------------------|------|------|---|--|
|                                   | Прямая  |      | Кривая радиусом<br>650 м |      |      | Кривая<br>радиусом<br>350 м |      |      |   |  |
|                                   | 80  | 100  | 120                      | 80   | 100  | 120                         | 60   | 85   |   |  |
| <b>По Методике</b>                |   |      |                          |      |      |                             |      |      |   |  |
| P65(6)1840(ЖБ)Щ                   | 2,23  | 2,34 | 2,45                     | 2,28 | 2,34 | 2,57                        | 2,17 | 2,36 |   |  |
| P65(6)2000(ЖБ)Щ                   | 2,10  | 2,20 | 2,30                     | 2,14 | 2,20 | 2,41                        | 2,04 | 2,22 | 4,90  |  |
| <b>С учетом совершенствования</b> |   |      |                          |      |      |                             |      |      |   |  |
| P65(6)1840(ЖБ)Щ                   | 2,43  | 2,49 | 2,46                     | 2,47 | 2,47 | 2,58                        | 2,43 | 2,52 |   |  |
| P65(6)2000(ЖБ)Щ                   | 2,32  | 2,37 | 2,34                     | 2,35 | 2,35 | 2,45                        | 2,31 | 2,39 |   |  |

# Оценка воздействия на путь грузового вагона методом математического моделирования его движения

ЦТТ

## Совершенствование существующей методики ЦПТ-52/14

*Напряжения на основной площадке земляного полотна по ЦПТ-52/14 и с учетом ее усовершенствования*

| Конструкция пути                  | Напряжения на основной площадке земляного полотна ( $\text{кг}/\text{см}^2$ ) при движении груженого вагона по участкам пути со скоростями, км/ч |      |                       |      |      |                       |      |      | Допускаемое значение, ( $\text{кг}/\text{см}^2$ ) |
|-----------------------------------|--|------|-----------------------|------|------|-----------------------|------|------|---|
|                                   | Прямая   |      | Кривая радиусом 650 м |      |      | Кривая радиусом 350 м |      |      |   |
|                                   | 80   | 100  | 120                   | 80   | 100  | 120                   | 60   | 85   |   |
| <b>По Методике</b>                |  |      |                       |      |      |                       |      |      |   |
| P65(6)1840(ЖБ)Щ                   | 0,68   | 0,71 | 0,74                  | 0,69 | 0,71 | 0,78                  | 0,66 | 0,71 |   |
| P65(6)2000(ЖБ)Щ                   | 0,67   | 0,70 | 0,74                  | 0,68 | 0,70 | 0,77                  | 0,66 | 0,71 | 0,80  |
| <b>С учетом совершенствования</b> |  |      |                       |      |      |                       |      |      |   |
| P65(6)1840(ЖБ)Щ                   | 0,73   | 0,74 | 0,74                  | 0,74 | 0,74 | 0,77                  | 0,73 | 0,75 |   |
| P65(6)2000(ЖБ)Щ                   | 0,73   | 0,75 | 0,74                  | 0,74 | 0,74 | 0,77                  | 0,73 | 0,75 |   |

### Вывод:

значения  $\sigma_h$  и  $\sigma_{бр}$  по усовершенствованной методике выше на 10%, чем по существующей.

Оценка воздействия на путь в ЕС в настоящее время регламентируется стандартом EN 14363 и выполняется непосредственно по вертикальным и боковым силам, действующим от колеса на рельс.

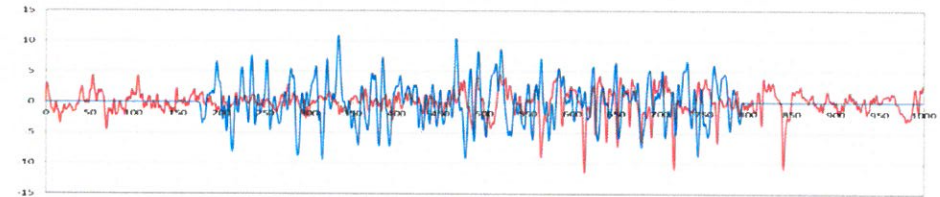
Тензометрическая КП для оценки воздействия на путь при испытаниях



## Заключение

- Для достоверной оценки влияния вагона на железнодорожный путь методами математического моделирования необходимы:

достоверные данные о *неровностях*  
рельсовых нитей и параметрах  
современных *конструкций пути*



- Рассмотрена действующая методика оценки воздействия на путь и предложено направление по ее совершенствованию, заключающееся в использовании нагрузок от колеса на рельс, полученных непосредственно по результатам моделирования.
- Для верификации результатов моделирования с данными, полученными при испытаниях, рекомендовано использовать тензометрические КП.

- Выделено, что существующие методики оценки воздействия на путь по ЦПТ-52/14 и ГОСТ Р 55050-2012 избыточны

↓ *Принять во внимание  
стандарт EN 14363*



Оценка воздействия на путь производится непосредственно по вертикальным и боковым силам, действующим от колеса на рельс

Спасибо за внимание

Ч.Т.Т.

